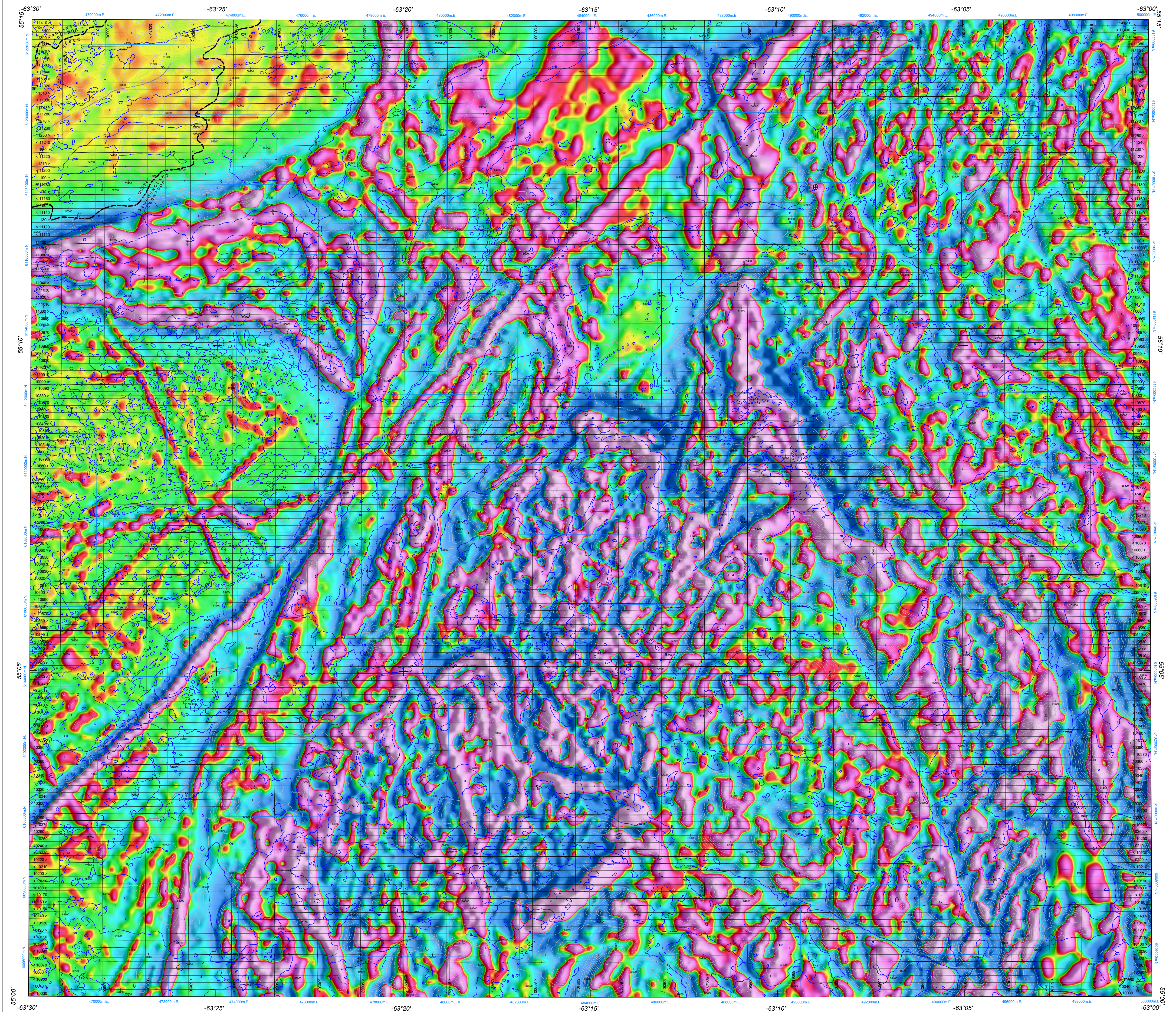


DÉRIVÉE PREMIÈRE VERTICALE DU CHAMP MAGNÉTIQUE

FIRST VERTICAL DERIVATIVE OF THE MAGNETIC FIELD



Dérivée première verticale du champ magnétique

Cette carte de la dérivée première verticale du champ magnétique a été compilée à partir de données acquises lors d'un levé aéromagnétique effectué par Geo Data Solutions GDS Inc. et Orinda Geoscience International pendant la période du 16 février au 16 avril 2012. Les données ont été recueillies au moyen d'un magnétomètre à vapeur de césium à faisceau partiel (sensibilité de 0,025 nT) installé dans la poutre de queue de chacun de trois avions Piper Navajo. L'espacement normal des lignes de vol était de 200 m et il y avait des lignes de contrôle, de 1 200 m. L'aéronef volait à une hauteur nominale au-dessus du sol de 80 m. Les lignes de vol étaient orientées E-W, perpendiculairement aux lignes de contrôle. La trajectoire de vol a été restituée par l'application après le vol de corrections différentielles aux données brutes du système GPS et par inspection d'images du sol enregistrées au moyen d'une caméra vidéo installée à l'avant. Le levé a été réalisé sur une surface de vol pré-déterminée afin de minimiser les différences des valeurs du champ magnétique aux intersections des lignes de contrôle et des lignes de vol. Ces différences ont été analysées par ordinateur afin d'obtenir un jeu de données nivelées sur le champ magnétique le long de la ligne de vol. Ces valeurs nivelées ont ensuite été interpolées suivant un quadrillage à maille de 50 m, puis le champ géomagnétique international de référence (IGRF) défini à une altitude de 4 000 m pour l'année 2012.202 a été soustrait. La soustraction du IGRF, qui représente le champ magnétique du noyau terrestre, fournit une composante résiduelle essentiellement reliée à l'anomalie de la croûte terrestre.

La dérivée première verticale du champ magnétique représente le taux auquel varie le champ magnétique suivant la verticale. Le calcul de la dérivée première verticale supprime les composantes de grande longueur d'onde du champ magnétique et améliore considérablement la résolution des anomalies rapprochées ou superposées. L'une des propriétés des cartes de la dérivée première verticale est la coïncidence de la courbe de valeur zéro et des contacts verticaux aux hautes latitudes magnétiques (Hood, 1965).

Coefficients de corrélation Keating

Cette technique de reconnaissance de forme (Keating, 1995) pour l'identification d'anomalies plus ou moins circulaires consiste à calculer le coefficient de corrélation dans une fenêtre mobile entre le modèle d'une anomalie d'un cylindre vertical et les données magnétiques de la grille. Les résultats qui ont un coefficient de corrélation supérieur à un seuil de 80% sont montrés sous forme de cercles ayant une dimension reflétant leur valeur de corrélation. Les cibles les plus favorables sont celles qui présentent des groupements de coefficients de corrélations élevés. Les paramètres du modèle du cylindre sont les suivants pour ce levé : diamètre 200 m; longueur infinie; profondeur : 120 m; inclinaison magnétique : 70° N; déclinaison magnétique : 23° W; fenêtre : 1000 m x 1000 m.

On peut télécharger gratuitement des versions numériques de cette carte depuis la section « MIRAAGE » de l'Entrepôt de données géoscientifiques de Ressources naturelles Canada à l'adresse Web <http://www.miraage.gc.ca/miraage/>. Les données numériques correspondantes en formats profil et maille, ainsi que des données similaires issues des levés géophysiques adjacents, sont disponibles depuis la section « Données aéromagnétiques » de l'Entrepôt de données géoscientifiques de Ressources naturelles Canada à l'adresse Web <http://www.miraage.gc.ca/miraage/>. On peut se procurer les mêmes produits, moyennant des frais, en s'adressant au Centre des données géophysiques de la Commission géologique du Canada, 615 Booth Street, Ottawa (Ontario) K1A 0E8. Tél. : (613) 955-5326, courriel : info@geogov.gc.ca.

On peut aussi obtenir cette carte et les données géophysiques numériques correspondantes à partir de la section « Produits et services en ligne » du site Web du ministère des Ressources naturelles et de la Faune du Québec, à l'adresse <http://www.miraage.gc.ca/miraage/>.

On peut télécharger gratuitement une version numérique de cette carte à partir du site Web du ministère des Ressources naturelles de Terre-Neuve-et-Labrador, à la page des dossiers publics <http://www.miraage.gc.ca/miraage/> ou à la page de Geoscience Online (<http://geogov.gc.ca/>).

First Vertical Derivative of the Magnetic Field

This map of the first vertical derivative of the magnetic field was compiled from data acquired during an aeromagnetic survey carried out by Geo Data Solutions GDS Inc. and Orinda Geoscience International during the period from February 16 to April 16, 2012. The data were recorded using a split-beam cesium vapour magnetometer (sensitivity = 0.025 nT) mounted in the tail boom of each of three Piper Navajo aircraft. The nominal traverse and control line spacing were respectively 200 m and 1 200 m, and the aircraft flew at a nominal terrain clearance of 80 m. Traverse lines were oriented E-W with orthogonal control lines. The flight path was recovered following post-flight differential corrections to the raw Global Positioning System data and inspection of ground images recorded by a vertically-mounted video camera. The survey was flown on a pre-determined flight surface to minimize differences in magnetic values at the intersections of control and traverse lines. These differences were computer analysed to obtain a mutually levelled set of flight-line magnetic data. The levelled values were then interpolated to a 50 m grid. The International Geomagnetic Reference Field (IGRF), defined at an altitude of 4 000 m for the year 2012.202 was then removed. Removal of the IGRF, representing the magnetic field of the Earth's core, produces a residual component related essentially to the magnetizations within the Earth's crust.

The first vertical derivative of the magnetic field is the rate of change of the magnetic field in the vertical direction. Computation of the first vertical derivative removes long-wavelength features of the magnetic field and significantly improves the resolution of closely spaced and superposed anomalies. A property of first vertical derivative maps is the coincidence of the zero-value contour with vertical contacts at high magnetic latitudes (Hood, 1965).

Keating Correlation Coefficients

This pattern recognition technique (Keating, 1995) for identifying roughly circular anomalies consists of computing the correlation coefficient, over a moving window, between a vertical cylinder model anomaly and the gridded magnetic data. Results above a correlation coefficient threshold of 80% were depicted as circular symbols, scaled to reflect the correlation value. The most favourable targets are those that exhibit a cluster of high correlation coefficients. The cylinder model parameters for this survey are as follows: diameter, 200 m; infinite length; depth, 120 m; magnetic inclination, 70° N; magnetic declination, 23° W; window size: 1000 m x 1000 m.

Digital versions of this map can be downloaded, at no charge, from Natural Resources Canada's Geoscience Data Repository (MIRAAGE) at <http://www.miraage.gc.ca/miraage/>. Corresponding digital profile and gridded data as well as similar data for adjacent airborne geophysical surveys are available from Natural Resources Canada's Geoscience Data Repository at <http://www.miraage.gc.ca/miraage/>. The same products are also available, for a fee, from the Geophysical Data Centre, Geological Survey of Canada, 615 Booth Street, Ottawa, Ontario K1A 0E8. Telephone: (613) 955-5326, email: info@geogov.gc.ca.

This map and the corresponding digital geophysical data may also be obtained from the Ministère des Ressources naturelles et de la Faune du Québec Web site's "Online Products and Services" page at <http://www.miraage.gc.ca/miraage/>.

A digital version of this map can also be downloaded, at no charge, from the Web site of the Department of Natural Resources, Newfoundland and Labrador, either on its Open File page at <http://www.miraage.gc.ca/miraage/> or on its Geoscience Online page at <http://geogov.gc.ca/>.

References / Références

- Hood, P. J., 1965, Gradient measurements in aeromagnetic surveying: *Geophysics*, v. 30, p. 891-902.
- Keating, P., 1995, A simple technique to identify magnetic anomalies due to kimberlite pipes: *Exploration and mining geology*, v. 4, no. 2, p. 121-125.

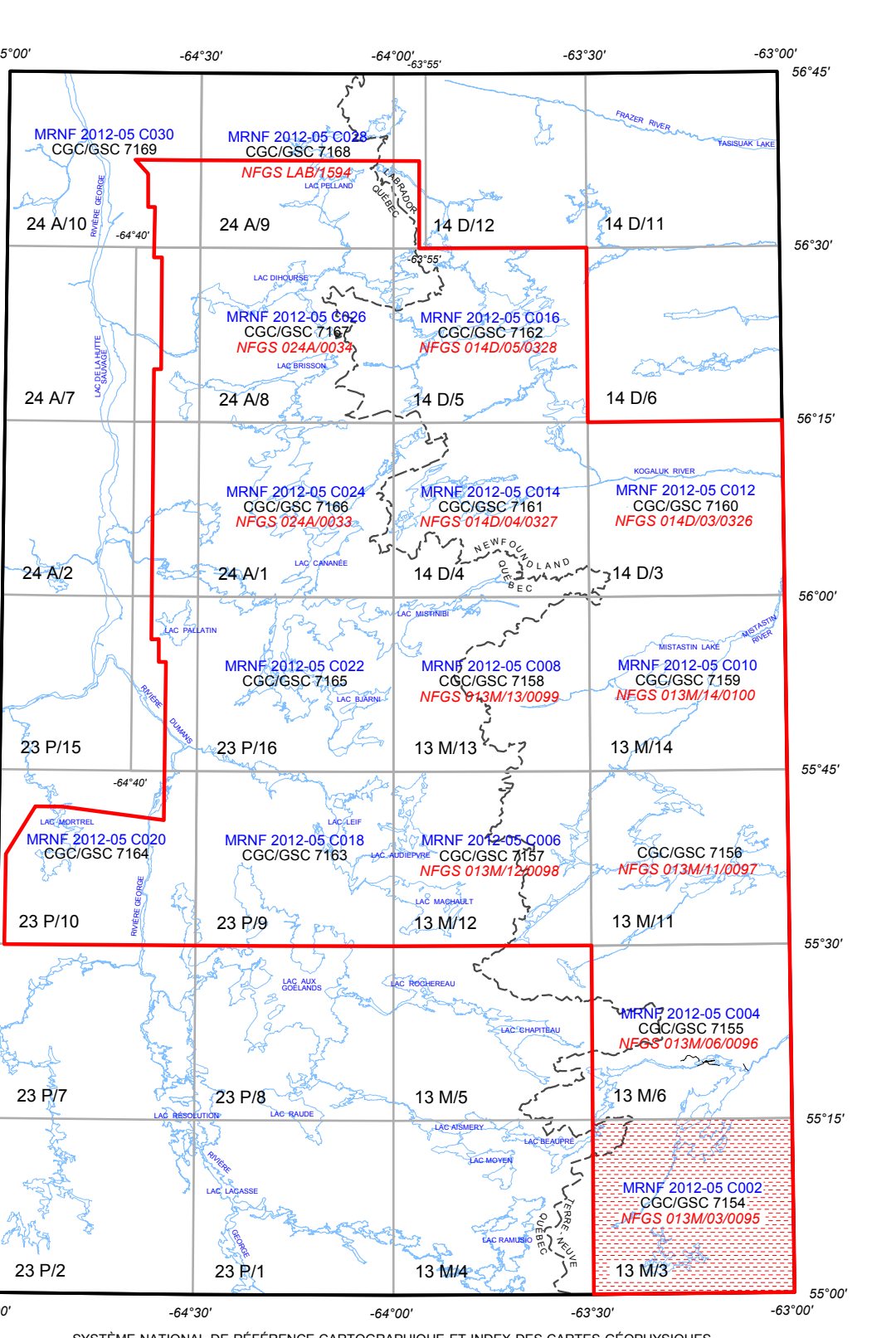
COEFFICIENTS KEATING

- Corrélation positive 90%
Corrélation négative 85%
..... 80%
..... Positive Correlation
..... Negative Correlation

SYMBÔLES PLANIMÉTRIQUES

- Courbes de niveau Topographic Contour
Limites de territoire Territory Boundary
Drainage Drainage
Route Road
Ligne de vol Flight Line

Échelle des courbes topographiques : 10 mètres
Topographic Contour Interval: 10 metres



LEVÉ AÉROMAGNÉTIQUE DE LA RÉGION DU BATHOLITE DE MISTASTIN
AEROMAGNETIC SURVEY MISTASTIN BATHOLITH

DOSSIER PUBLIC
OPEN FILE
7154
COMMISSION GÉOLOGIQUE DU CANADA
GEOLOGICAL SURVEY OF CANADA
2012
FEUILLET 2 DE 2
SHEET 2 OF 2

Les publications de cette série ne sont pas révisées; elles sont publiées telles que soumises par l'auteur.
Publications in this series have not been edited; they are released as submitted by the author.

Ministère des Ressources naturelles
et de la Faune du Québec
DP 2012-05 C002
Newfoundland and Labrador Department of Natural
Resources, Geological Survey Open File
013M/03/0095

Notation bibliographique conseillée :
Dumont, R. et Jones, A., 2012
Levée aéromagnétique de la région du Batholite de Mistastin,
SNRC 13 M/3, Québec et Terre-Neuve-et-Labrador;
Commission géologique du Canada, Dossier public: 7154;
Ministère des Ressources naturelles et de la Faune du Québec, DP 2012-05 C002;
Newfoundland and Labrador Department of Natural Resources,
Geological Survey, Open File 013M/03/0095,
échelle: 1:50 000.

Recommended citation:
Dumont, R. and Jones, A., 2012
Aeromagnetic Survey Mistastin Batholith,
NTS 13 M/3, Quebec and Newfoundland and Labrador;
Geological Survey of Canada, Open File 7154;
Ministère des Ressources naturelles et de la Faune du Québec, DP 2012-05 C002;
Newfoundland and Labrador Department of Natural Resources,
Geological Survey, Open File 013M/03/0095,
scale 1:50 000.

Ce levé aéromagnétique et la production de cette carte ont été financés conjointement par le programme «Géosciences de l'énergie et des minéraux (GEM) et la quatrième phase de l'initiative géoscientifique ciblée (IGC-4), qui sont des programmes du Secteur des sciences de la Terre, Ressources naturelles Canada.

This aeromagnetic survey and the production of this map were jointly funded by the Geo-mapping for Energy and Minerals (GEM) program and the fourth phase of the Targeted Geoscience Initiative (TGI-4), which are programs of the Earth Sciences Sector, Natural Resources Canada.

Auteurs : R. Dumont et A. Jones
Acquisition et compilation des données et production des cartes
par Geo Data Solutions GDS Inc., Laval (Québec)
Gestion et supervision du projet
par la Commission géologique du Canada, Ottawa (Ontario)

DOSSIER PUBLIC 7154 DE LA CGC / GSC OPEN FILE 7154
MINISTÈRE DES RESSOURCES NATURELLES ET DE LA FAUNE DU QUÉBEC, DP 2012-05 C002
NEWFOUNDLAND AND LABRADOR DEPARTMENT OF NATURAL RESOURCES, GEOLOGICAL SURVEY OPEN FILE 013M/03/0095

LEVÉ AÉROMAGNÉTIQUE DE LA RÉGION DU BATHOLITE DE MISTASTIN
AEROMAGNETIC SURVEY MISTASTIN BATHOLITH

SNRC 13 M/3 / NTS 13 M/3
QUÉBEC ET TERRE-NEUVE-ET-LABRADOR / QUEBEC AND NEWFOUNDLAND AND LABRADOR

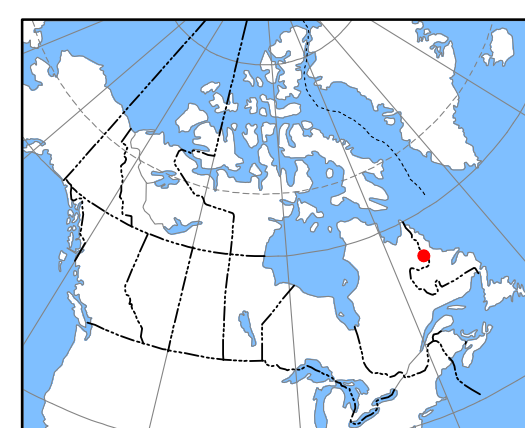
DÉRIVÉE PREMIÈRE VERTICALE DU CHAMP MAGNÉTIQUE
FIRST VERTICAL DERIVATIVE OF THE MAGNETIC FIELD

Échelle 1/50 000 - Scale 1: 50 000
kilomètres 0 1 2 3 4 5
kilometres 0 1 2 3 4 5
NAD83 / UTM zone 20N

Projections transversales universelles de Mercator
Système de référence géodésique nord-américain, 1983
© Du Magasin de la Reine du chef du Canada 2012
Universal Transverse Mercator Projection
North American Datum 1983
© Her Majesty the Queen in Right of Canada 2012

Données topographiques numériques de Géomatique Canada, Ressources naturelles Canada
Digital Topographic Data provided by Geomatics Canada, Natural Resources Canada

Auteurs: R. Dumont et A. Jones
Data acquisition and compilation and map production by
Geo Data Solutions GDS Inc., Laval, Quebec.
Contract and project management by the
Geological Survey of Canada, Ottawa, Ontario



LOCALISATION DE LA CARTE - MAP LOCATION

SOMMAIRE DES FEUILLETS / MAP SHEET SUMMARY

Feuille / Sheet

- CARTE / MAP
1. Composante résiduelle du champ magnétique total
Residual Total Magnetic Field
2. Dérivée première verticale du champ magnétique
First Vertical Derivative of the Magnetic Field